

چکیده

میراگرهای ویسکوز از جمله تجهیزات اتلاف انرژی هستند که در دهه‌های اخیر در روش‌های نوین طراحی لرزه‌ای مورد توجه قرار گرفته‌اند. تحقیقات نشان می‌دهد که استفاده از میراگرهای ویسکوز می‌تواند نقش مؤثری در کنترل پاسخ سازه‌ها در برابر باد، انفجار و زلزله داشته باشد. اکثر سازه‌ها هنگام مواجهه با زلزله‌های شدید، به کمک شکل پذیری اعضا با آن مقابله می‌نمایند که سبب آسیب‌های اساسی و گاهی غیرقابل جبران به اعضای سازه‌ای و غیر سازه‌ای می‌شود. در روش‌های نوین طراحی سازه‌ها در برابر زلزله، برای مقابله با انرژی ورودی به سازه، می‌توان با قرار دادن میراگرهایی در محل‌های مناسب بخش اعظمی از انرژی زلزله را مستهلك و اثرات زلزله را به حداقل رساند. در مطالعه‌ی حاضر اقدام به ساخت نمونه‌ای از میراگر ویسکوز انتباخت محوری با ظرفیت نیروی ۵۰۰ کیلو نیوتون و دامنه‌ی تغییر مکانی ۱۵۰ میلی‌متر شد. عملکرد میراگر جدید با امکان تغییر در ثابت میرای آن به کمک شیر کنترلی موجود، تحت آزمایش‌های چرخه‌ای قرار گرفت و در نهایت مشخصه‌های رفتاری این میراگر در فرم یک مدل ساده‌ی رفتاری که مبین رفتار عمومی این میراگر بـر مبنای عوامل مختلف تأثیرگذار در عملکرد آن است، ارائه شد. همچنین با استفاده از روابط ریاضی ارائه شده توسط محققین، به تعیین مشخصات مکانیکی و مدل سازی رفتاری میراگر موجود تحت آزمایش چرخه‌ای در فرکانس‌های مختلف پرداخته شده است.

واژگان کلیدی: تجهیزات اتلاف انرژی^۱، میراگر ویسکوز^۲، مشخصه‌های رفتاری میراگر^۳، آزمایش‌های چرخه‌ای^۴

بررسی عملکرد یک میراگر انتباخت محوری با امکان تغییر ثابت میرایی

سیده شکیبا موسوی

کارشناسی ارشد مهندسی عمران- زلزله، پژوهشگاه بین‌المللی زلزله‌شناسی و مهندسی زلزله

منصور ضیایی‌فر (نویسنده مسئول)

دانشیار مهندسی عمران- زلزله، پژوهشگاه مهندسی سازه، پژوهشگاه بین‌المللی زلزله‌شناسی و مهندسی زلزله، mansour@jies.ac.ir

۱- مقدمه

مشارکتی ندارند، پس از وقوع زلزله به راحتی می‌توانند تعییر یا تعویض گردد [۱-۳]. تجهیزات اتلاف انرژی مختلفی، نظری میراگرهای اصطکاکی، میراگرهای ویسکوالاستیک و میراگرهای ویسکوز، وجود دارد. اضافه کردن میراگر به سازه علاوه بر کنترل خرایی، کنترل و هدایت محل وقوع آن می‌تواند امکان تعییر را در کوتاه‌ترین زمان و با صرف کمترین هزینه برای ساختمان فراهم نماید [۴-۵].

از جمله میراگرهای ویسکوز معمول، میراگرهای سیلندر پیستونی می‌باشند. وجود مکانیزم آب‌بندی در این نوع میراگرها به جهت جلوگیری از خروج مایع از درون سیلندر لازم بوده و موجب نیاز به، انجام بازدیدهای دوره‌ای در فواصل زمانی معین

یکی از روش‌های رایج طراحی سازه‌ها برای ایجاد مقاومت کافی در برابر زلزله، بالا بردن ظرفیت شکل پذیری اعضا اصلی باربر برای بهبود عملکرد لرزه‌ای کل سازه است. در این روش سازه در مواجهه با زلزله‌های شدید با تشکیل مفصل‌های پلاستیک کنترل شده، انرژی ورودی را مستهلك می‌نماید. این امر به سازه امکان می‌دهد در برابر بارهای لرزه‌ای مقاومت کرده و دچار فروریزی و تخریب ناگهانی نشود. در روش‌های نوین طراحی لرزه‌ای، استهلاک انرژی را به بخش‌ها و یا تجهیزاتی که از پیش برای این هدف تعییه شده، محول نموده و به‌این ترتیب خرابی اجزای سازه‌ای را کاهش می‌دهند. از آنجا که عناصر جاذب انرژی در سیستم باربری ثقلی ساختمان

در دو طرف کلاهک پیستون و در نتیجه سبب تولید نیرو در میراگر می‌شود. نسبت نیروی ایجاد شده به سرعت نسبی دو سر میراگر را می‌توان در ساده‌ترین شکل خود به فرم خطی فرض کرد، اما به طور معمول، توان سرعت کمتر از واحد درتابع میرایی، عملکرد لرزه‌ای بهتری نسبت به حالت خطی دارد [۹].

۳- تعیین مشخصات مکانیکی میراگر

مشخصات مکانیکی میراگرهای ویسکوز را می‌توان از طریق انجام آزمایش‌های بارگذاری به صورت کنترل تغییرمکانی در فرم حرکت سینوسی به دست آورد [۱۰].

مطالعاتی توسط سایمنز و چارنی [۱۱] و کنستانتنیو و سایمنز [۱۲] جهت تعیین مشخصات مکانیکی میراگرهای ویسکوز انجام شده است. آنها تغییر مکان اعمالی به میراگر را به صورت جابه‌جایی سینوسی در نظر گرفتند:

$$U = U_0 \sin(\omega t) \quad (1)$$

در آن U_0 ، ω و t به ترتیب دامنه و فرکانس بارگذاری و زمان می‌باشند. آنها فرض کردند نیروی لازم برای اعمال این بارگذاری نیز به صورت سینوسی خواهد بود:

$$P = P_0 \sin(\omega t + \theta) = P_0 \sin(\omega t) \cdot \cos \theta + P_0 \cos(\omega t) \cdot \sin \theta \quad (2)$$

که در این رابطه P_0 دامنه نیرو و θ زاویه اختلاف فاز می‌باشد.

در حالی که میرایی به صورت خطی باشد، منحنی رفتار میراگر به صورت ییضی کامل خواهد بود و انرژی اتلافی در یک چرخه رفتاری را می‌توان از رابطه زیر محاسبه نمود:

$$W_d = \pi \cdot P_0 \cdot U_0 \cdot \sin \theta \quad (3)$$

با معرفی پارامترهای

$$K_1 = \frac{P_0}{U_0} \cdot \cos \theta \quad (4)$$

$$K_2 = \frac{P_0}{U_0} \cdot \sin \theta \quad (5)$$

رابطه (۵) جایگزین رابطه (۲) می‌شود:

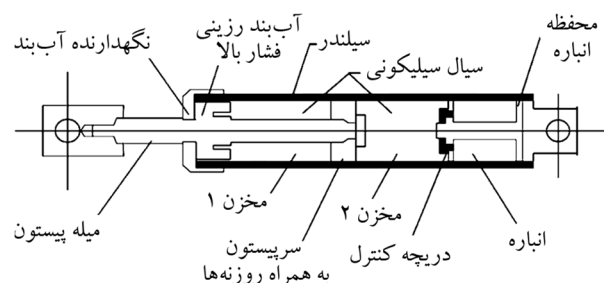
$$P = K_1 U_0 \sin(\omega t) + K_2 U_0 \cos(\omega t) \quad (5)$$

می‌شود. این بازدیدها مستلزم صرف هزینه و زمان زیادی می‌باشد و در عمل استفاده از این میراگرهای بزرگ پرهزینه می‌سازد [۶].

در این راستا میراگر جدیدی پیشنهاد گردید که در آن از مکانیزم سیلندر و پیستون متداول استفاده نشده بود. نمونه‌ی اولیه‌ی این میراگر، طی مطالعه‌ی فروغی کیا [۷] ساخته و مورد بررسی قرار گرفت. این میراگر تحت نام میراگر ویسکوز انقباض محوری مطرح گردید و نمونه‌ی اولیه‌ی آن دارای ظرفیت نیرویی و دامنه‌ی تغییر مکانی پایینی بود. در ساخت دو نمونه‌ی بعدی از این میراگر ویسکوز، ضمن افزایش ظرفیت نیرویی و دامنه‌ی تغییر مکانی آن، امکان ایجاد رفتار غیرخطی نیز برای میراگر فراهم گردید. مدل‌های رفتاری ساده‌ی کلوین و میرایی خطی معادل برای بررسی رفتار این میراگرهای مورد استفاده قرار گرفته و مشخصه‌های رفتاری آنها بر این اساس تعیین گردیده بود.

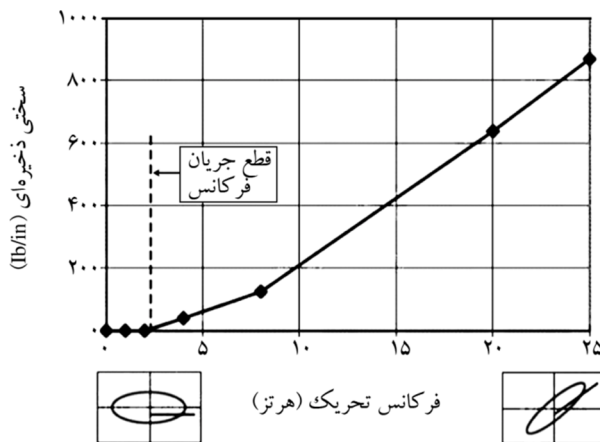
۲- میراگرهای ویسکوز معمول

ساختمان این میراگرهای شامل یک سیلندر و پیستون پر شده از سیالی ویسکوز است که غیر سمی و غیر اشتعالزا بوده و برای مدت زمان طولانی پایدار است (شکل ۱).

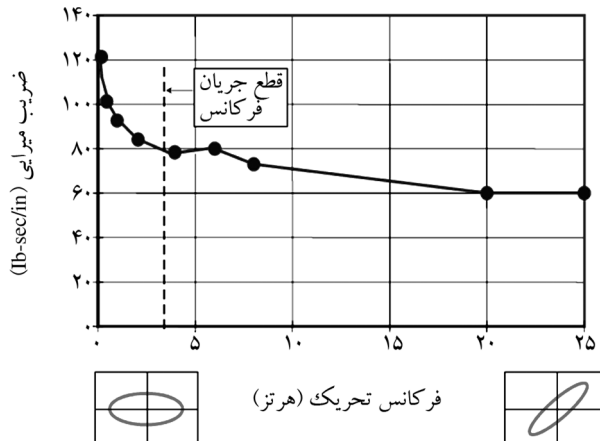


شکل (۱): جزئیات میراگر ویسکوز [۸]

اساس کار این میراگر استهلاک انرژی توسط عبور مایع با فشار از درون روزنه تعییه شده در کلاهک پیستون می‌باشد. وقتی میراگر در فشار است، مایع با فشار زیاد از مخزن ۲ به مخزن ۱ جاری می‌شود و بر عکس وقتی میراگر در کشش است، مایع از مخزن ۱ به مخزن ۲ جاری می‌شود. عبور مایع با فشار زیاد از درون روزنه‌ی پیستون، سبب ایجاد اختلاف فشار



شکل (۲): نمودار وابستگی سختی ذخیره‌ای (K_1) به فرکانس بارگذاری و فرکانس قطع میراگر [۱۲]



شکل (۳): نمودار وابستگی ثابت میرایی (C) به فرکانس بارگذاری و فرکانس قطع میراگر [۱۲]

۴- مدل سازی میراگر ویسکوز

نیروی میرایی در میراگرهای ویسکوز با سرعت اعمال بار آن نسبت مستقیم خطی و یا غیرخطی دارد. مقدار این نیرو از رابطه (۱۰) به دست می‌آید:

$$P = C \times \text{Sgn}(\dot{u}(t)) \times |\dot{u}(t)|^\alpha \quad (10)$$

در این رابطه $\dot{u}(t)$ سرعت جابه‌جایی نسبی اعمال شده به دو سر میراگر، C ثابت میرایی و α توان سرعت می‌باشد.

منحنی نیرو-تغییر مکان میراگر ویسکوز (شکل ۴)، برای میراگرهای ویسکوز خطی حالت ($\alpha = 1$) از بیضی تا حالت مستطیلی ($\alpha = 0$) تغییر می‌کند؛ بنابراین برای مقدار مساوی

و یا رابطه‌ی

$$P = K_1 u + \frac{K_2}{\omega} \dot{u}_0 \quad (6)$$

مشخص است که قسمت اول رابطه (۶) نماینده‌ی نیروی بازگرداننده میراگر می‌باشد (مشابه فنر) که با تغییر مکان هم فاز بوده و به‌اصطلاح سختی ذخیره شده^۵ نامیده می‌شود. قسمت دوم رابطه، نماینده‌ی نیروی میرایی بوده و هم فاز با سرعت بوده و با تغییر مکان ۹۰ درجه اختلاف فاز دارد. مقدار K_2 به‌اصطلاح سختی اضافی^۶ نامیده می‌شود. ضریب میرایی میراگر را می‌توان از رابطه‌ی زیر به دست آورد:

$$C = \frac{K_2}{\omega} \quad (7)$$

با ترکیب روابط (۳) و (۴) می‌توان نوشت:

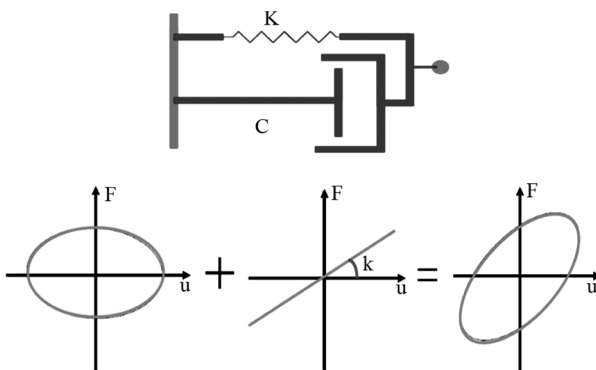
$$\theta = \sin^{-1} \left(\frac{K_2 u_0}{P_0} \right) \quad (8)$$

$$K_2 = \left(\frac{W_d}{\pi \cdot u_0^2} \right) \quad (9)$$

در صورتی که میرایی خطی باشد، میراگر به صورت ویسکوز خالص عمل می‌کند، اختلاف فاز در این رابطه برابر ۹۰ درجه خواهد بود و سختی ذخیره شده که معادل نیروی بازگرداننده است (قسمت اول رابطه ۶) برابر صفر خواهد شد. عموم میراگرهای میراگر می‌شود. همان‌طور که در شکل (۲) مشاهده می‌شود، میراگر در فرکانس‌های حدود ۲ هرتز از خود سختی نشان داده است. اگر فرکانس بارگذاری از فرکانس قطع میراگر کمتر باشد در این صورت سختی میراگر ناچیز است. زوایه‌ی تمايل حلقه‌های هیسترزیس نسبت به محور افقی در شکل مزبور نشان‌دهنده‌ی تأثیر فرکانس بر سختی ذخیره‌ای (K_1) می‌باشد.

در فرکانس‌های بسیار پایین، تعیین ثابت میرایی سخت بوده و به‌شدت به مقادیر بالا گرایش دارد. هنگامی که فرکانس بارگذاری افزایش می‌یابد ثابت میرایی با شدت کمتری کاهش می‌یابد (شکل ۳).

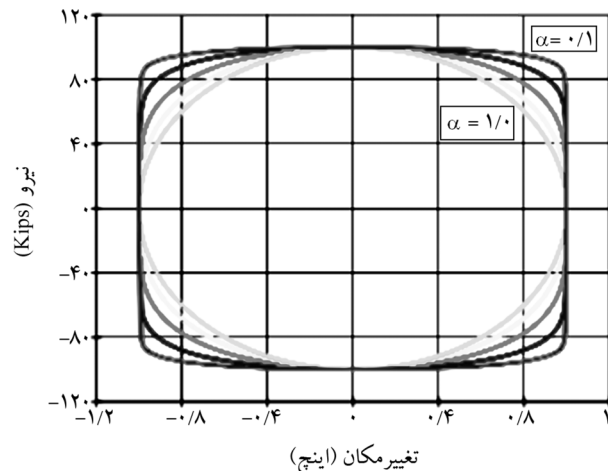
که در این رابطه K سختی ذخیره شده، C ثابت میرایی، $u(t)$ تاریخچه زمانی جابه‌جایی و $\dot{u}(t)$ تاریخچه زمانی سرعت می‌باشد.



شکل (۴): مدل کلوین [۱۳]

جابه‌جایی و نیرو، انرژی اتلاف شده در هر سیکل برای میراگر ویسکوز غیرخطی بزرگ‌تر از میراگر ویسکوز خطی می‌باشد

. [۱۲]



شکل (۴): منحنی نیرو- تغییرمکان برای میراگرهای ویسکوز خطی و غیرخطی

یکی از ایده‌های مطرح شده برای ایجاد تغییر در میراگرهای ویسکوز معمول، حذف آب‌بند در ساخت این میراگرهای می‌باشد. با توجه به اینکه حرکت میله‌ی پیستون نسبت به ابتدای سیلندر نیازمند استفاده از آب‌بند است، پس برای حذف آب‌بند باید به حذف حرکت نسبی این قطعات اقدام نمود.

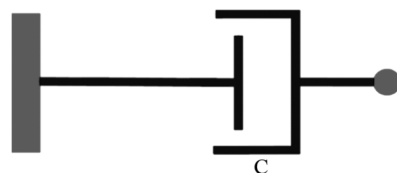
برای عملی ساختن این ایده می‌بایست دو مخزن مجزا ایجاد کرد که هم‌زمان با حرکت میله‌ی پیستون، توانایی ایجاد تغییر حجم در مخازن و اجرای سیال به جابه‌جایی از یک مخزن به مخزن دیگر در سیستم به وجود آورده شود. لذا می‌بایست از مخازنی که خود قابلیت تغییر شکل فیزیکی داشته و بتواند این تغییر حجم را ایجاد کنند استفاده کرد. برای این کار از اتصال آکاردئونی^۸ تحت عنوان بلوز^۹ بهره گرفته شده است.

برای ایجاد این ویژگی از دو مخزن مجزا که از دو بلوز ساخته شده و صفحه‌ای فولادی مابین آنها قرار دارد، استفاده شده است. میله‌ای نیز از وسط صفحه‌ی فولادی عبور داده شده که در دو انتهای بلوزها متصل گردیده است. این میله دارای حرکت نسبت به صفحه‌ی میانی مابین دو مخزن است و جریان مایع مابین دو مخزن به سبب ترانس ساخت قطعات تأثیر زیادی از حرکت نسبی میله با صفحه‌ی میانی نمی‌پذیرد.

به طور کلی مدل‌سازی میراگر ویسکوز به چند روش انجام می‌شود. در ساده‌ترین مدل، تنها از یک میراگر مطابق شکل (۵) برای مدل استفاده شده است [۱۱].

$$C = \frac{W}{\pi \times \omega \times u_0^2} \quad (11)$$

W مساحت زیر منحنی هیسترزیس، ω فرکانس بارگذاری و u_0 حداقل دامنه‌ی بارگذاری می‌باشد.



شکل (۵): مدل میراگر ساده

مدل مرسوم دیگر، مدل کلوین است و از یک فنر و یک میراگر که به صورت سری قرار گرفته‌اند تشکیل شده و بیشتر برای مدل‌سازی رفتاری میراگر ویسکوزی که نیروی خروجی آن به فرکانس وابسته نیست به کار گرفته می‌شود (شکل ۶).

$$F(t) = C \times \dot{u}(t) + K \times u(t) \quad (12)$$

۶- الگوی بارگذاری و پیکربندی آزمایش

الگوی بارگذاری آزمایش‌ها به صورت کنترل تغییر مکانی و بارگذاری سینوسی، در دامنه و فرکانس‌های مختلف می‌باشد. با توجه به محدودیت‌های موجود در شرایط بارگذاری، دامنه‌ی حداکثر بارگذاری در آزمایش‌ها ۱۲۰ میلی‌متر انتخاب شده است. با توجه به محدودیت‌های موجود در بارگذاری توسط جک محرك، دامنه‌ی بارگذاری اعمالي به میراگر با دامنه‌های مورد نظر متفاوت هستند. میراگر تحت فرکانس‌های مختلف بارگذاری قرار گرفته و مشخصات بارگذاری اعمال شده و پاسخ‌ها توسط دستگاه ثبت می‌شود. همه‌ی مراحل آزمایش‌ها در قاب عکس العمل پژوهشگاه زلزله‌شناسی و مهندسی زلزله صورت گرفته است. شکل (۸) پیکربندی آزمایش را نمایش داده است. برای اعمال بارگذاری از جک محرك ۵۰۰ کیلو نیوتون استفاده شده است.

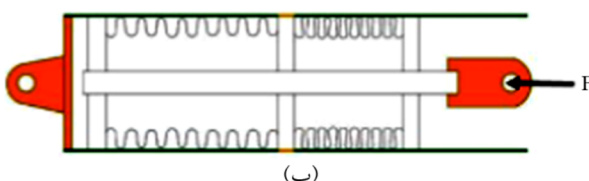
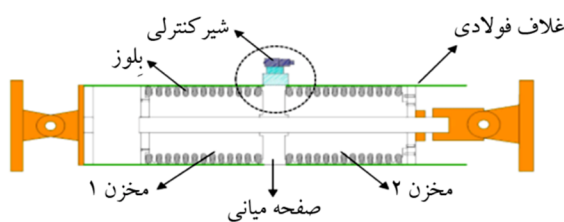
برای محافظت از قطعات آکاردئونی و جلوگیری از کمانش آنها از پوشش فلزی پیرامونی بهره گرفته شده است.

نمونه‌ی اولیه ساخته شده توسط فروغی کیا [۷] دارای ظرفیت نیرویی پایین، در حدود ۵۰ کیلو نیوتون و دامنه‌ی تغییر مکانی برابر ۳۰ میلی‌متر بود. رفتار نمونه‌ی اولیه به صورت خطی گزارش شده بود. نمونه‌ی بعدی ساخته شده در سال ۸۸ توسط پژشکی [۶] دارای دامنه‌ی تغییر مکانی ۶۵ میلی‌متر و ظرفیت نیرویی ۲۵۰ کیلوتون بود. نمونه‌ی جدید ساخته شده که بهبود یافته‌ی میراگر قبلی است با توجه به هندسه‌ی ساخت دارای دامنه‌ی تغییر مکانی ۱۵۰ میلی‌متر و ظرفیت نیرویی ۵۰۰ کیلو نیوتون می‌باشد.

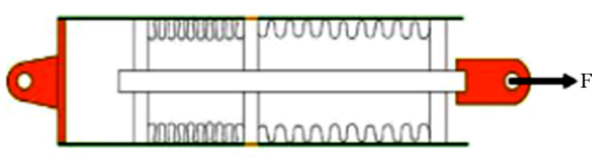
طرح کلی میراگر پیشنهادی و عملکرد آن در شکل (۷) نشان داده شده است.



(الف)



(پ)



(پ)

شکل (۷): (الف) طرح کلی میراگر، (ب) عملکرد میراگر تحت کشش، (پ) عملکرد میراگر تحت فشار [۱۴]



شکل (۸): پیکربندی کلی آزمایش [۱۴]

با توجه به نتایج جدول (۱) و شکل (۹)، با استفاده از شیر کنترلی دستی می‌توان میزان دبی جریان عبوری مایین دو مخزن را تنظیم کرد به تغییر ثابت میرایی در میراگر دست یافت. در فرکانس‌های پایین چون فشار روغن کم است، منحنی نیرو-تغییر مکان میراگر در حالت شیر باز و بسته کم و بیش بر هم منطبق است. تأثیر شیر کنترلی در فرکانس‌های بالاتر بیشتر محسوس است و با افزایش فرکانس بارگذاری در حالتی که شیر کنترلی دستی باز است، روغن با سرعت بیشتری از یک مخزن به مخزن دیگر انتقال می‌یابد، بنابراین نیروی ایجاد شده در میراگر کاهش می‌یابد. به این ترتیب می‌توان با تنظیم میزان باز یا بسته بودن شیر به نیروی مورد نیاز در فرکانس مورد نظر رسید.

با توجه به جدول (۱) میزان نیروی موجود در میراگر در فرکانس 0.2 هرتز، از 70 کیلو نیوتون در حالت شیر باز، به 210 کیلو نیوتون در حالتی که شیر کنترلی دستی کاملاً بسته است، افزایش یافته است. نتایج حاصل از آزمایش‌ها برای فرکانس 0.2 هرتز در حالت‌های مختلف شیر کنترل دستی، توسط ضریب میرایی رابطه (۱۱) مدل‌سازی شده که در جدول (۲) آمده است. برای تمامی آزمایش‌ها توان سرعت (α) با فرض رفتار خطی میراگر برابر با یک در نظر گرفته شده است. از آنجا که نیروی اصطکاک داخل میراگر با فرکانس بارگذاری و در نتیجه فشار روغن رابطه مستقیم دارد، میزان نیروی اصطکاک در حالتی که شیر کنترلی باز است کمتر از نیروی اصطکاک محاسبه شده در حالت شیر بسته است (چون فشار روغن در حالت شیر باز کم است). در سایر حالات آزمایش، با افزایش فشار روغن میزان نیروی اصطکاک به نسبت افزایش یافته است.

جدول (۲): نتایج مدل‌سازی ضریب میرایی معادل

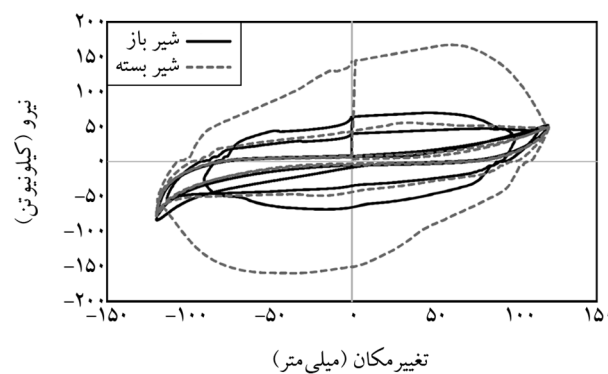
آزمایش	ضریب میرایی معادل		
جایه جایی (میلی متر)	وضعیت شیر	W_d (kN.mm)	C (N.sec/mm)
۱۰۰	باز	۱۹۰۴۱/۲۱	۴۹۱
۱۲۰	۴۰ درجه باز	۵۲۵۸۰/۰۸	۹۳۵
۱۲۰	۲۵ درجه باز	۶۳۳۴۱/۹۴	۱۱۲۷
۱۲۰	بسته	۶۲۸۹۴/۲۸	۱۱۱۹

۷- بررسی رفتاری مکانیکی میراگر پیشنهادی

در آزمایشات از یک شیر کنترل برای تنظیم دبی روغن عبوری مایین دو مخزن استفاده شده است. برای بررسی تأثیر عملکرد شیر کنترلی دستی، آزمایش‌ها به صورت بارگذاری سینوسی درحالی که شیر کنترل دستی کاملاً باز، 60 درجه بسته، 75 درجه بسته و کاملاً بسته است، انجام شده است. برای بررسی نتایج کلی آزمایش، از چرخه‌ی میانی هر آزمایش بهره گرفته می‌شود. بخشی از نتایج حاصله از آزمایش‌های فوق، برای حالتی که شیر کنترلی دستی در حالت کاملاً باز و کاملاً بسته است در زمان‌های تناوب مختلف در جدول (۱) ثبت شده و منحنی نیرو-تغییر مکان آنها در شکل (۹) آورده شده است. لازم به ذکر است که در هنگام بسته بودن شیر کنترل دستی مسیر عبور روغن تنها از فاصله محدود مایین میله و سط میراگر و صفحه میانی بوده و ترانس ساخت قطعات در ثابت میرایی میراگر نقش اصلی را خواهد داشت.

جدول (۱): نتایج حاصله از عملکرد شیر کنترلی دستی

ردیف	زمان تناوب (ثانیه)	حداکثر دامنه اعمالی (میلی متر)	حداکثر دامنه اعمالی (میلی متر)	نتایج	آزمایش
۱	۱۲۰	۱۲۰	۱۲۰	باز	حداکثر نیرو (کیلو نیوتون)
۲	۴۰	۱۲۰	۱۲۰	باز	۷۷/۵
۳	۱۰	۱۲۰	۱۲۰	باز	۵۵/۵
۴	۵	۱۲۰	۱۲۰	باز	۷۰
۵	۱۲۰	۱۲۰	۱۲۰	بسته	۷۸
۶	۴۰	۱۲۰	۱۲۰	بسته	۷۶
۷	۱۰	۱۲۰	۱۲۰	بسته	۷۳
۸	۵	۱۲۰	۱۲۰	بسته	۲۱۰

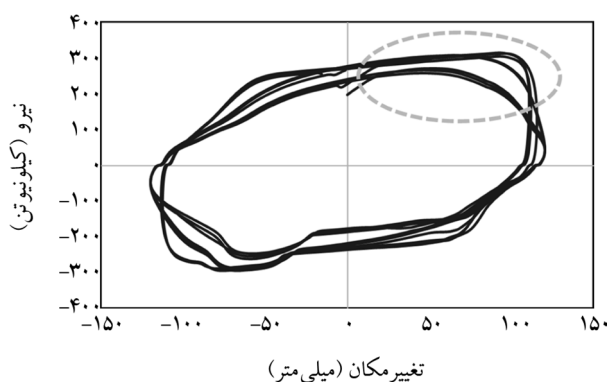


شکل (۹): نمودار نیرو-جایه جایی حاصله از نتایج جدول (۱)

میراگر نتایج به دست آمده از آزمایش چرخه‌ای میراگر در جدول (۳) ارائه گردیده است. با استفاده از روابط (۱) تا (۹)، در این حالت رفتار میراگر پیشنهادی مورد بحث قرار گرفته است. منحنی نیرو-تغییرمکان میراگر برای آزمایش‌های انجام شده مطابق شکل (۱۱) به دست آمده است.

جدول (۳): آزمایش‌های انتخابی برای مدل‌سازی رفتاری میراگر

فرکانس (هرتز)	و (رادیان بر ثانیه)	جابه‌جایی (میلی‌متر)	نیرو (کیلونیوتن)
۰/۱	۰/۶۲۸	۱۲۰	۲۳۰
۰/۱۲۵	۰/۷۸۵	۱۲۰	۲۴۲
۰/۱۶۷	۱/۰۴۷	۱۲۰	۲۹۰
۰/۲۵	۱/۵۷۱	۱۲۰	۳۱۰

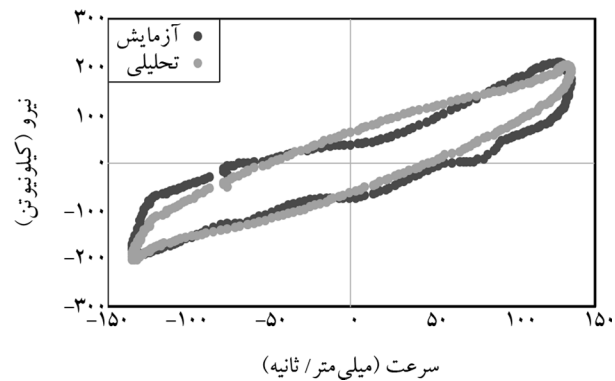
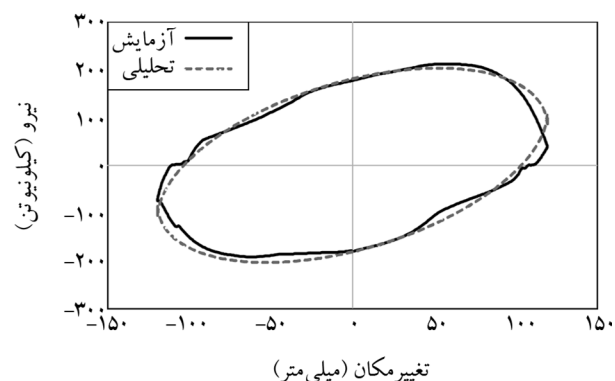


شکل (۱۱): منحنی نیرو-تغییرمکان آزمایش‌های انتخابی

پارامترهای منحنی ایده‌آل با استفاده از روابط (۱) تا (۹) در این آزمایشات محاسبه شده و مقادیر آن در جدول (۴) آورده شده است. با منحنی حاصل از نتایج ثبت شده‌ی آزمایش، مقادیر سختی ذخیره شده و زاویه‌ی فاز (روابط ۴ و ۸)، با سعی و خطا به گونه‌ای تغییر می‌یابند تا منحنی حاصل از آزمایش بهترین تطبیق را با منحنی ایده‌آل داشته باشند. نمونه‌ای از تطبیق منحنی آزمایشگاهی با منحنی ایده‌آل در شکل (۱۲) آمده است.

در جدول (۴) θ^* زاویه‌ی فاز اصلاح شده، K_1^* سختی ذخیره‌ی اصلاح شده می‌یابند که از این طریق حاصل آمده‌اند. با توجه به نتایج به دست آمده، با افزایش فرکانس مقادیر ثابت میرایی کاهش و سختی ذخیره شده افزایش می‌یابند شکل (۱۳) می‌بین این روند است.

با توجه به نتایج باسته شدن شیر کنترل دستی میزان ضربی میرایی افزایش می‌یابد و مقدار این پارامتر برای حالتی که شیر ۷۵ درجه باسته و یا کاملاً باسته است، برابر تخمین زده شده است. این روند در حالت ضربی میرایی معادل نیز دیده می‌شود و دلیل آن این است که مکانیزم شیر استفاده شده در عمل در حوالی ۷۵ درجه حالت باسته را ایجاد کرده است. نمونه‌ای از نتایج مدل‌سازی برای شیر باسته، با مدل رفتاری کلوین در شکل (۱۰) ارائه شده که نشان از تطبیق مناسب نتایج آزمایشگاهی با مدل‌سازی به کار گرفته شده دارد. باید توجه داشت در استفاده از مدل کلوین، نیروی ناشی از سختی فنر جداگانه مد نظر قرار گرفته است ولی در استفاده از میرایی معادل نیازی به این کار نیست.



شکل (۱۰): نمودار نیرو-تغییرمکان، نیرو-سرعت برای آزمایش ۰/۲ هرتز شیر باسته

-۸- مدل‌سازی رفتاری میراگر پیشنهادی با استفاده از روابط ریاضی

در حالتی که شیر کنترلی کاملاً باسته است، با افزایش ویسکوزیته‌ی سیال درون مخزن و با فرض رفتار خطی برای

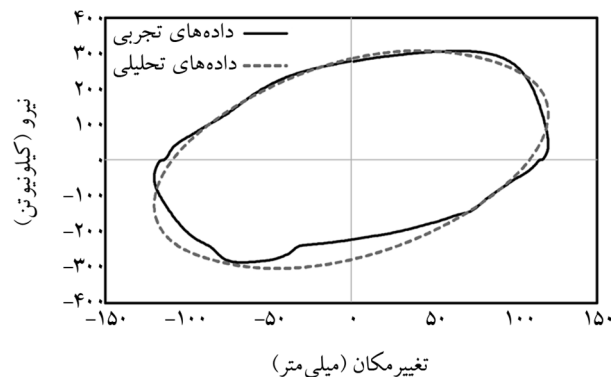
جدول (۴): مدل‌سازی رفتاری میراگر نمونه با روش کنستانتینو و سایمتر

$0/25$	$0/167$	$0/125$	$0/1$	f (هرتز)
۱۱۳	۱۲۰	۱۲۰	۱۲۰	u_0 (میلی‌متر)
$۳۱۲/۳$	$۳۰۴/۵$	$۲۶۳/۳$	$۲۲۸/۳$	P_0 (کیلونیوتون)
۱۰۱۳۱۲۱۴۱	۹۶۹۷۹۱۲۶	۸۰۴۵۷۵۷۵	۶۵۸۰۴۴۲۲	W_d (کیلونیوتون/میلی‌متر)
$۱۵۹۶/۷$	$۲۰۵۳/۳$	$۲۲۶۷/۱۹$	$۲۳۱۵/۱۷$	C (کیلونیوتون.ثانیه/میلی‌متر)
$۲۵۰۸/۰۷$	$۲۱۵۰/۲۵$	$۱۷۸۰/۶۵$	$۱۵۵۴/۶۶$	K_2 (کیلونیوتون/میلی‌متر)
۱۱۴۰	۱۳۷۱	۱۲۸۴	۱۲۲۷	K_1 (کیلونیوتون/میلی‌متر)
$۱/۱۶$	$۱/۱۶$	$۱/۱۶$	$۱/۱۶$	θ^* (رادیان)
۱۰۹۹	۱۰۱۵	۸۷۷	۷۵۹	K_1^* (کیلونیوتون/میلی‌متر)

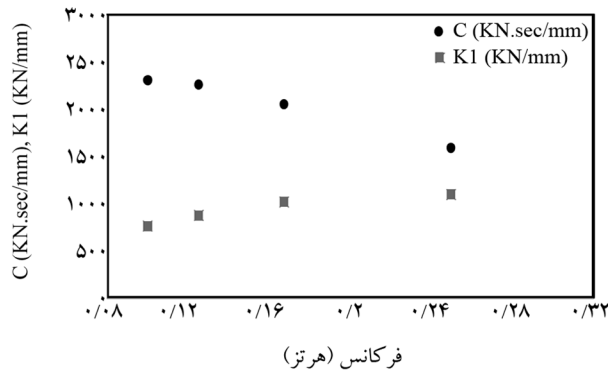
میسر خواهد بود. باید توجه داشت که میراگر مورد آزمایش دارای رفتاری غیر خطی سرعتی و تغییرمکانی است و امکان افزایش سطح رفتار غیرخطی آن نیز وجود دارد. میراگر طراحی شده در عمل نیاز به ساخت قطعات با دقت بسیار بالا ندارد و آب‌بندی مخازن آن به وسیله‌ی جوش بین قطعات حاصل می‌شود. بررسی‌ها نشان داد که با استفاده از شیر کنترلی دستی می‌توان میزان دبی جریان عبوری و درنتیجه ثابت میراگر را کنترل کرد و به مقادیر نیروی مطلوب در فرکانس مورد نظر دست یافت. در صورتی که در مدل‌های آتی بتوان از شیر کنترلی هوشمند در ساخت میراگر بهره برد می‌توان با توجه به شرایط، میزان جریان عبوری روغن را کنترل کرد و به فناوری مناسبی در سیستم‌های جاذب انرژی با هزینه‌های پایین دست یافته.

مراجع

- Skinner, R.I., Robinson, W.H., and McVerry, G.H. (1993) *An Introduction to Seismic Isolation*. John Wiley & Sons.
- Soong, T.T. and Dargush, G.F. (1997) *Passive Energy Dissipation Systems in Structural Engineering*. Wiley.
- Ouali, N. (2009) *Effets des Dispositifs D'amortissement sur les Déplacements, Vitesses et Accélérations des Structures* (doctoral dissertation).
- Burton, S.A., Konstantopoulos, I.K., Makris, N., and Antsaklis, P.J. (1995) Modeling the response



شکل (۱۲): منحنی نیرو- تغییر مکان ایده‌آل و آزمایشگاهی، آزمایش ۰/۱۶۷ هرتز



شکل (۱۳) نمودار تغییرات ضریب میراگر و سختی در مقابل فرکانس بارگذاری

۹- نتیجه‌گیری

نمونه‌ی میراگر ساخته شده، طی آزمایش‌های تحت عملکرد شیر کنترلی به حداقل نیروی ۲۱۰ کیلو نیوتون در فرکانس ۰/۲ هرتز رسید که در عمل با افزایش امکانات آزمایشگاهی و ساخت نمونه‌های جدید امکان دسترسی به ظرفیت نهایی ۵۰۰ کیلو نیز

- Zealand, 23-30.
14. Mousavi, Sh. (2014) *Investigation on the Behavior of a New Contractable Viscous Dashpot in Mass Isolation Building (Experimental Studies)*. M.Sc. Thesis, International Institute of Earthquake Engineering and Seismology (in Persian).

واژه‌نامه

Dissipating Energy Device	۱-تجهیزات اتلاف انرژی
Viscous Damper	۲-میراگر ویسکوز
Dashtop Characteristics	۳-مشخصه‌های رفتاری میراگر
Cyclic Tests	۴-آزمایش‌های چرخه‌ای
Storage Stiffness	۵-سختی ذخیره شده
Loss Stiffness	۶-سختی اتلافی
Cut-Off Frequency	۷-فرکانس قطع
Expansion Joints	۸-اتصال آکاردئونی
Bellows	۹-بلوز

- of a fluid damper: constitutive models and neural networks. *Proceedings of the 3rd IEEE Mediterranean Symposium on New Directions in Control and Automation*, 375-379.
5. Oesterle, M.G. (2003) *Use of Incremental Dynamic Analysis to Assess the Performance of Steel Moment-Resisting Frames with Fluid Viscous Dampers*. Virginia Tech (doctoral dissertation).
6. Pezeshki, H. (2010) Experimental Studies on a Controllable Nonlinear Viscous Dashpot for Near-field Application in Base Isolated Buildings. M.Sc. Thesis, International Institute of Earthquake Engineering and Seismology (in Persian).
7. Fouroughikia, B. (2007) *Recommend, Build and Test a Viscous Damper Controllable with Modern Features*. M.Sc. Thesis, International Institute of Earthquake Engineering and Seismology (in Persian).
8. Whittaker, A.S. and Constantinou, M.C. (2004) *Seismic Energy Dissipation Systems for Buildings*. Bozorgnia and Bertero (Eds.), CRC Press LLC.
9. Taylor, D.P. and Constantinou, M.C. (1994) *Test Methodology and Procedures for Fluid Viscous Dampers Used in Structures to Dissipate Seismic Energy*. Taylor Devices.
10. Armouti, N. S. (2011) Effect of Dampers on Seismic Demand of Short Period Structures in Deep Cohesionless Sites. *Advanced Steel Construction*, 7(2), 192-205.
11. Symans, M.D. and Charney, F.A. (2003) *Seismic Protective Systems: Passive Energy Dissipation*. Instructional Material Complementing FEMA, 451.
12. Constantinou, M.C. and Symans, M.D. (1992) *Experimental and Analytical Investigation of Seismic Response of Structures with Supplemental Fluid Viscous Dampers*. Buffalo, NY: National Center for Earthquake Engineering Research.
13. Labise, C., Rodgers, G.W., MacRae, G.A., Chase, J.G. (2012) Viscous and hysteretic damping – impact of capacity design violating in augmented structural system. *J. Univ. Canterbury*, New Zealand, 23-30.

Study on a Contractile Viscous Dashpot with Variable Damping Constant

Shakiba Mousavi¹ and Mansour Ziyaeifar^{2*}

M.Sc. Student, International Institute of Earthquake Engineering and Seismology (IIEES),
Associate Professor, International Institute of Earthquake Engineering and Seismology (IIEES),

* Corresponding Author, email: mansour@iiees.ac.ir

One of the new challenges in structural engineering is the mitigation of seismic hazards from structures using flexibility and energy dissipation approaches. This is in contrast with the typical seismic design methodologies in which strength and ductility resources of structural members are tapped to tackle earthquake demands. In this approach, adding to the flexibility of the structure should be in accordance with the energy dissipation potential in the system. In this case, earthquake demands for lateral strength in structures reduces, but energy dissipation devices are needed to subside the lateral deformation of such flexible structural systems.

To meet the huge demand for energy dissipation potential in these structural systems, large scale damping devices are required. Such equipment, to mention a few, comes in the form of metallic, frictional, viscoelastic, memory shaped alloys and viscous dashpots. Among the others, viscous dashpots are considered the most favorite ones to use in large structural systems due to their sizable capacity and impartiality to ambient vibration and temperature loads. Moreover, since these devices are velocity dependent energy dissipaters, they are capable of reducing both deformation and acceleration responses of the structural systems more effectively.

Viscous dashpots are typically made from a metallic cylinder, a piston, a shaft, cylinder caps and elastomeric seals (to provide confinement on the liquid inside of the cylinder). The existence of elastomeric seals in configuration assembly of these devices is considered a weak point in mechanical design of such dashpots considering maintenance issues. To address this problem, a contractile viscous dashpot was introduced earlier in which there was no need for elastomeric seals. In this work, a new version of this dashpot with variable damping constant have been tested for determination of its functionality and characteristics.

Contractile viscous dashpots are made from two flexible chambers that axially contract or expand to accommodate liquid movement between the two. In this mechanism all parts of the device are made of steel and there is no relative movement between cylinder caps and the main shaft. Therefore, there is no need for elastomeric seals to confine the liquid inside of cylinders at cylinder caps.

The Dashpot was designed for load capacity of 500 KN and the maximum stroke of ± 150 mm. In the test procedure, however, due to some limitations in the test setup, the attainable load was around 310 KN. The test results show stable hysteretic loops under sinusoidal excitations with the amplitude of ± 120 mm in the frequency range of 0.1-0.25 Hz. The hysteresis loops resemble a viscous device with viscoelastic behavior that can be roughly represented by Kelvin model. As expected, damping constant of the dashpot reduces by an increase in excitation frequency. The capability of change in damping characteristics of the dashpot was embedded in the device. This ability was shown in the experiments where damping constant of the device became almost tripled during the test process by adjusting the embedded mechanism in the device.

The contractile dashpot used in this study has shown an initial frictional behavior due to imperfection in its manufacturing process. Increase in the internal liquid pressure in the device expands this frictional behavior to about 10% of total capacity of the dashpot. The initial frictional force in the device can be easily improved to help the functionality of the dashpot.



This dashpot has shown acceptable performances in all the experimental investigations carried out in the course of this study. Considering its simplicity and practicality (low maintenance costs), there would be a good chance for such devices to be used in large structures in near future.

Keywords: Energy Dissipation Devices; Viscous Dampers; Dashpot Characteristics; Cyclic Test.